

# Управление ячейкой SOT-MRAM внешним магнитным полем и током

Н. В. Островская<sup>1,\*</sup>, В. А. Скиданов<sup>1</sup>, Ю. А. Юсипова<sup>2</sup>

<sup>1</sup>Институт проблем проектирования в микроэлектронике РАН, ул. Советская, 3, Зеленоград, Москва, 124365

<sup>2</sup>ООО «Альфачип», пл. Шокина, 1, стр. 8, Зеленоград, Москва, 124498

\*ost.ippm@yandex.ru

Исследовано переключение ячеек с перпендикулярной анизотропией ферромагнитных слоев, работа которых базируется на спиновом эффекте Холла. На основе обобщенного уравнения Ландау – Лифшица – Гильберта построена динамическая система, описывающая движение вектора намагниченности в элементе SOT-MRAM с перпендикулярной анизотропией активного слоя под действием зарядового тока и внешнего магнитного поля. Проведен ее качественный анализ. Выявлены состояния равновесия системы и проведена классификация основных динамических режимов.

## Введение

Спин-поляризованный ток, который позволяет передачу спинового углового момента между двумя магнитными слоями, служит основным способом управления состояниями битов в магнитной памяти, названной STT-MRAM [1–3]. Альтернативой такой памяти является память SOT-MRAM, которая обладает свойствами энергонезависимости, обратимости, высокой скорости, низкой рассеиваемой мощности и хорошей совместимости с традиционной полупроводниковой промышленностью [4]. В настоящее время предложено несколько конфигураций ячеек SOT-MRAM, обладающих разными свойствами. Здесь нами исследована работа ячеек с перпендикулярной анизотропией ферромагнитных слоев, отличная от конфигураций, рассмотренных в работе [5]. В основе их функционирования лежит спиновый эффект Холла.

## Модель

На рис. 1 приведено схематическое изображение элемента SOT-MRAM с перпендикулярной анизотропией ферромагнитных слоев (FL – ferromagnet layers). Слои ферромагнетика разделены слоем немагнитного материала, обеспечивающего туннельную связь между слоями (TB – tunnel barrier). Трехслойная структура квадратного поперечного сечения размещена на проводящих шинах из тяжелого металла, Ru, Rh, Pd, Os, Ir, Pt, (HM – heavy metal). Одна шина обеспечивает запись нуля либо единицы в ячейку памяти, другая шина – чтение информации из ячейки.

В основе описания динамики вектора намагниченности свободного слоя лежит уравнение Ландау – Лифшица – Гильберта.

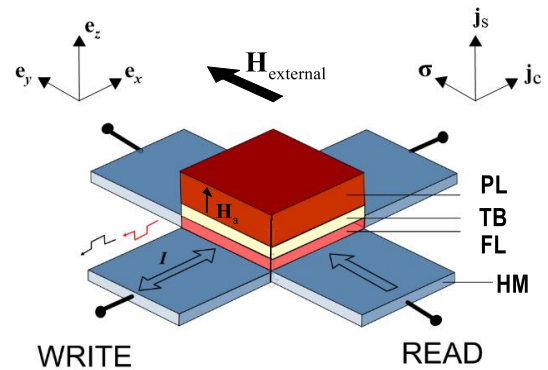
$$\frac{\partial \mathbf{M}}{\partial t} = -|\gamma| \mu_0 [\mathbf{M} \times \mathbf{H}_{\text{eff}}] + \frac{a}{M_s} \left[ \mathbf{M} \times \frac{\partial \mathbf{M}}{\partial t} \right] + \mathbf{T}_{\text{SOT}}, \quad (1)$$

где вращательный спин-орбитальный момент  $\mathbf{T}_{\text{SOT}}$  равен

$$\begin{aligned} \mathbf{T}_{\text{SOT}} &= \mathbf{T}_{\text{FL}} + \mathbf{T}_{\text{DL}}, \\ \mathbf{T}_{\text{FL}} &= |\gamma \mu_0| j \theta_{\text{SH}} \chi_{\text{DL}} \left[ \mathbf{M} \times [\mathbf{M} \times \mathbf{e}_y] \right], \\ \mathbf{T}_{\text{DL}} &= |\gamma \mu_0| j \theta_{\text{SH}} \chi_{\text{FL}} M_s \left[ \mathbf{M} \times \mathbf{e}_y \right]. \end{aligned} \quad (2)$$

Здесь  $\gamma$  – гиромагнитное отношение,  $\mu_0$  – магнитная проницаемость вакуума, нормированная плотность зарядового тока равна  $j = J/J_{\text{norm}} =$

$= J \hbar / g |e| d \mu_0 M_s^2$ ,  $\hbar$  – постоянная Планка,  $g \approx 2$  – фактор Ланде,  $e$  – заряд электрона,  $d$  – толщина свободного ферромагнитного слоя,  $M_s$  – намагниченность насыщения свободного (активного) слоя ферромагнетика (значения параметров некоторых ферромагнитных материалов, использованные в статье, приведены в табл. 1),  $\theta_{\text{SH}}$  – угол спинового эффекта Холла,  $\theta_{\text{SH}} = j_s / j_c$ , характеризующий отношение плотности вертикального спинового тока к плотности горизонтального зарядового тока,  $\chi_{\text{DL}}, \chi_{\text{FL}}$  – эффективность спинового эффекта Холла для каждой компоненты вращательного момента,  $a$  – коэффициент диссипации. Значения параметров Холла и эффективности спиновой поляризации для структуры Ta/Co<sub>60</sub>Fe<sub>20</sub>B<sub>20</sub>/MgO приведены в табл. 1. Здесь же приведены численные значения параметров  $K$ ,  $a$  и  $\mu_0 M_s$ , использованные в вычислениях.



**Рис. 1.** Схематическое изображение элемента SOT-MRAM с перпендикулярной анизотропией ферромагнитных слоев ( $\mathbf{H}_{\text{external}}$  – внешнее магнитное поле,  $\mathbf{H}_a$  – поле анизотропии,  $I$  – зарядовый ток записи,  $\mathbf{j}_c$  – вектор плотности зарядового тока,  $\mathbf{j}_s$  – вектор плотности спинового тока,  $\sigma$  – направление поляризации спинов)

Для использования аппарата численного анализа уравнение (1) представим в безразмерном виде

$$\frac{\partial \mathbf{m}}{\partial \tau} = -\mathbf{m} \times \mathbf{h}_{\text{eff}} + \alpha \mathbf{m} \times \frac{\partial \mathbf{m}}{\partial \tau} + \mathbf{t}, \quad (3)$$

где

$$\begin{aligned} \mathbf{m} &= \mathbf{M} / M_s \quad (|\mathbf{m}| = 1), \quad \mathbf{h}_{\text{eff}} = \mathbf{H}_{\text{eff}} / M_s, \\ \mathbf{t} &= \mathbf{H}_{\text{eff}} / \gamma \mu_0 M_s^2, \quad \tilde{\tau} = [\gamma \mu_0 M_s^2]^{-1}. \end{aligned}$$

Таблица 1. Параметры моделирования динамики элемента SOT-MRAM для ферромагнетика Ta/Co<sub>60</sub>Fe<sub>20</sub>B<sub>20</sub>/MgO

Физическая величина	Численное значение	Ссылка
$K$ , МДж/м <sup>3</sup>	0,6	[6]
$\mu_0 M_s$ , Тл	1,300	[6]
$\alpha$	0,008	[7]
$\theta_{SH}$	-0,06	[4]
$\chi_{DL}$	3,2	[4]
$\chi_{FL}$	-2,1	[4]
$k = 2K/(\mu_0 M_s^2)$	0,892	

Таблица 2. Нормировки, использованные в расчетах (толщина активного слоя  $d$  равна 1 нм, фактор Ланде  $g$  считаем равным 2)

Нормировочная формула	Нормировочный коэффициент
$H = hM_s, \frac{MA}{M}$	$1,035 \cdot 10^6 h$
$J = \frac{d g \mu_0 M_s^2}{\hbar} j, \frac{A}{M^2}$	$4,081 \cdot 10^{12} j$
$K = \frac{\mu_0 M_s^2}{2} k, \frac{Дж}{M^3}$	$6,724 \cdot 10^5 k$
$t = \frac{1 + \alpha^2}{\gamma \mu_0 M_s} \tau, c$	$2,745 \cdot 10^{-11} \tau$

Координатная запись уравнения (3) для рассматриваемой структуры имеет вид

$$dm_x/d\tau = P(m_x, m_y, m_z),$$

$$dm_y/d\tau = Q(m_x, m_y, m_z),$$

$$dm_z/d\tau = S(m_x, m_y, m_z),$$

где

$$\begin{aligned}
 P &= (h - cj + abj)m_z - (k - 1)m_y m_z + \\
 &+ (bj + acj - ah)m_x m_y - a(k - 1)m_x m_z^2, \\
 Q &= (k - 1)m_x m_z - a(k - 1)m_y m_z^2 + \\
 &+ (ah - acj - bj)(m_x^2 + m_z^2), \\
 S &= -(h - cj + abj)m_x + a(k - 1)m_z(1 - m_z^2) + \\
 &+ (bj - ah + acj)m_y m_z, \\
 b &= \theta_{SH} \chi_{DL}, \quad c = \theta_{SH} \chi_{FL}.
 \end{aligned} \tag{4}$$

### Качественный анализ динамической системы

Анализ динамической системы (4) может быть выполнен методами качественной теории динамических систем [8–10]. Фазовой поверхностью для уравнения (3) является поверхность единичной сферы. Через регулярную точку на фазовой поверхности проходит одна и только одна фазовая траектория. Если точка является особой, то правые части либо также имеют особенность, либо одновременно обращаются в нуль. Это позволяет определить их число и координаты (рис. 2). На левой и нижней координатных осях рис. 2 отложены размерные величины внешнего магнитного поля ( $H$ ), в которое помещен

элемент памяти, и плотности зарядового тока, пропускаемого через шину из тяжелого металла ( $J$ ). На правой и верхней оси – эти же величины, нормированные на коэффициенты из табл. 2. Примеры типичных фазовых портретов на единичной сфере представлены на рис. 3,  $a-g$ .

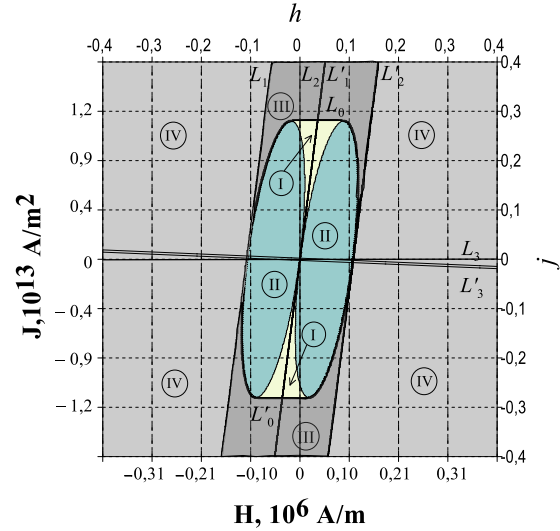


Рис. 2. Бифуркационная диаграмма динамической системы, описывающей динамику намагниченности в элементе SOT-MRAM с перпендикулярной анизотропией для  $k = 0,892$ ,  $\alpha = 0,008$ . В областях I динамическая система имеет шесть особых точек, в областях II и III – четыре особых точки, во внешних областях IV – две особых точки, именно  $(0, \pm 1, 0)$

Точка  $P_0(h = 0, j = 0)$  (точка 0)

В этом случае система (4) вырождается к виду

$$\begin{aligned}
 dm_x/d\tau &= -m_z(k - 1)(\alpha m_x m_z + m_y), \\
 dm_y/d\tau &= -m_z(k - 1)(\alpha m_y m_z - m_x), \\
 dm_z/d\tau &= -m_z(k - 1)(m_z^2 - 1).
 \end{aligned} \tag{5}$$

Из (5) видно, что система имеет особую линию  $m_z = 0$ , совпадающую с экватором единичной сферы, и две изолированные особые точки типа фокус с координатами  $(0, 0, \pm 1)$ . В магнитомягких материалах ( $k < 1$ ) фокусы неустойчивы, а точки на экваторе устойчивы, тогда как в магнитотвердых материалах ( $k > 1$ ), напротив, – фокусы  $(0, 0, \pm 1)$  устойчивы, а особые точки на экваторе неустойчивы. На рис. 3,  $a$  приведены годографы конца нормированного вектора намагниченности, полученные численным решением системы (5) методом Рунге – Кутты для трехслойной структуры на основе магнитомягкого материала Ta/Co<sub>60</sub>Fe<sub>20</sub>B<sub>20</sub>/MgO ( $k = 0,892$ ).

При любых  $h \neq 0, j \neq 0$  правые части системы (4) обращаются в нуль в точках  $T_{3,4}(0, \pm 1, 0)$ . Таким образом, в ячейке с конфигурацией (рис. 1) запись бита может происходить между основными равновесными положениями вектора намагниченности  $T_3(0, -1, 0)$  и  $T_4(0, +1, 0)$ . Кроме них, в системе (4) могут быть дополнительные равновесия, устойчивые или неустойчивые. Можно показать, что дополнительные равновесия существуют на плоскости управляющих параметров «поле – ток» в параллелограмме, ограниченном линиями

$$L_0 : j = -(1-k)/(2b),$$

$$L'_0 : j = (1-k)/(2b),$$

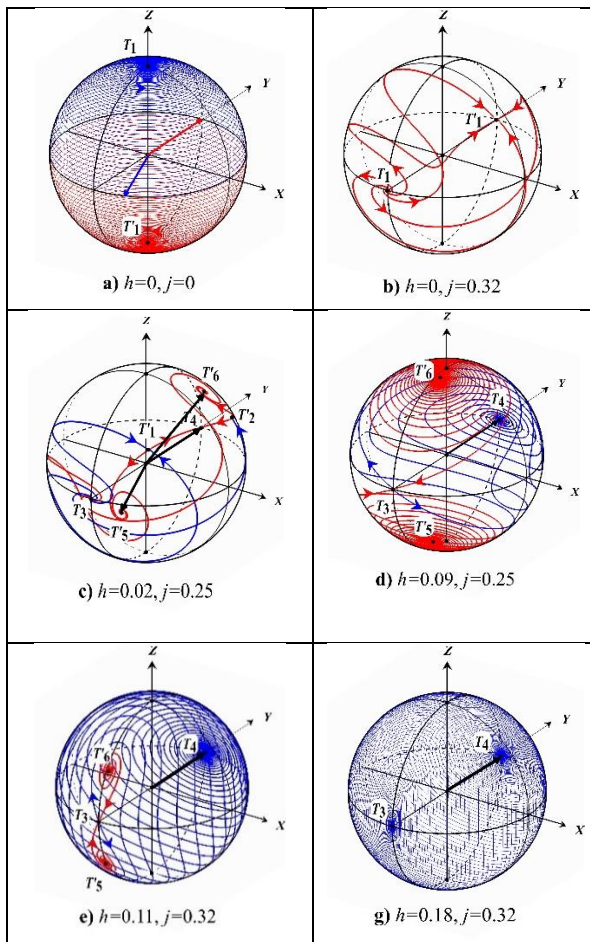
$$L_1 : 2h + 2(\alpha b - c)j - (k-1)(\sqrt{\alpha^2 + 1} + 1) = 0,$$

$$L'_1 : 2h + 2(\alpha b - c)j + (k-1)(\sqrt{\alpha^2 + 1} + 1) = 0.$$

На рис. 3, *c* приведен пример динамики намагниченности в области I с шестью точками равновесия, три из которых неустойчивы (два седла  $T_{1,2}$  и неустойчивый фокус  $T_3$ ), а три устойчивы: три устойчивых фокуса  $T_{4,5,6}$ . Траектория, исходящая из неустойчивого фокуса  $T_3$ , в зависимости от малого случайного отклонения от положения неустойчивого равновесия, перенаправляет свое движение в окрестностях седла  $T_{1,2}$  таким образом, что может оказаться в одном из трех устойчивых положений равновесия. Эта ситуация представляет интерес с точки зрения ее применения в нейросетях.

В области II имеются четыре положения равновесия, три из которых неустойчивы – седло  $T_3$  и два неустойчивых фокуса  $T_{5,6}$ , и одно устойчиво – устойчивый фокус  $T_4$  (рис. 3, *d, e*).

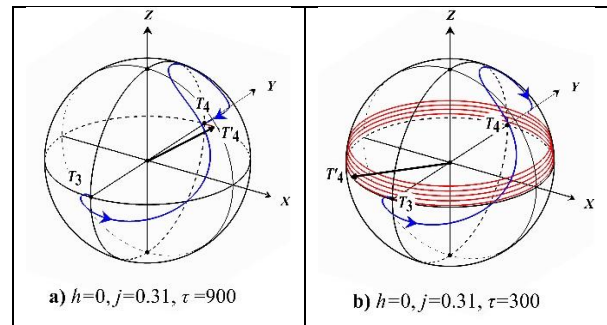
В области IV дополнительных точек равновесия нет, но есть две основные – устойчивый и неустойчивый фокус (рис. 3, *g*).



**Рис. 3.** Примеры фазовых портретов системы (4) для некоторых частных значений управляющих параметров в областях I–IV бифуркационной диаграммы: *c* – область I, *d* – область II, *e* – область III, *g* – область IV

## Импульсное переключение ячейки памяти

Практический интерес может представлять динамика вектора намагниченности, изображенная на рис. 3, *b*, – переключение ячейки памяти в отсутствие внешнего магнитного поля. Этот режим открывает многообещающие перспективы упрощения конструкции ячейки памяти [11, 12]. Однако результат переключения весьма чувствителен к такому управляющему параметру как длительность  $\tau$  импульса тока (рис. 4, *a, b*).



**Рис. 4.** Динамика переключения ячейки SOT-MRAM при импульсах тока разной длительности в отсутствие магнитного поля: *a* – длительность импульса  $\Delta t = 24,7$  нс, *b* – длительность импульса  $\Delta t = 8,2$  нс

## Выводы

Оценим плотность тока переключения намагниченности в ячейке памяти SOT-MRAM. Если в начальный момент вектор намагниченности находился в положении безразличного равновесия  $T_3(0, -1, 0)$ , то при подаче на шину импульса зарядового (неполяризованного) тока величины выше порога  $j > |(1-k)/(2b)|$  положение  $T_3(0, -1, 0)$  теряет устойчивость – устойчивым становится равновесие  $T_4(0, +1, 0)$ . Малое отклонение вектора намагниченности от равновесия  $T_3(0, -1, 0)$  приводит к тому, что он устремляется к новому равновесию, и если длительность импульса тока достаточна, то происходит переворот намагниченности, т. е. запись в ячейку бита информации. Будем считать, что оптимальные условия переключения соответствуют случаю двух точек равновесия (область III на рис. 2). Плотность порогового тока переключения в этом случае равна приблизительно  $1,15 \cdot 10^{12} \text{ Ам}^{-2}$ , т. е. через сечение элемента площадью  $10 \times 10$  нм величина тока составит 0,1 мА. Это значение плотности управляющего тока близко к значению плотности тока для *z*-конфигурации ячейки памяти в работе [5].

Однако существенным недостатком данной конфигурации является то, что значимые положения равновесия вектора намагниченности «0» и «1» не обладают окрестностью притяжения, как это имеет место в случае ячеек с планарной анизотропией (например, в работе [13]).

## Финансирование

Работа финансировалась из госбюджетной темы «Вега-Г-2023» «Исследование и разработка методов создания элементной базы и программных продуктов для высокопроизводительных вычислительных систем нового поколения».

## Литература

1. S. A. Wolf, D. D. Awschalom, R. A. Buhrman, J. M. Daughton, S. von Molnar, M. L. Roukes, et al. // *Science* 2001. 294 : 1488–95.
2. S. D. Bader, S. S. P. Parkin // *Spintronics. Annu. Rev. Condensed Matter. Phys.* 2010. V. 1 P. 71.
3. A. Brataas, A. D. Kent, H. Ohno // *Nat. Mater.* 2012. V. 11. P. 372–381.
4. C. Song, R. Zhang, L. Liao, Y. Zhou, X. Zhou, R. Chen, Y. You, X. Chen, F. Pan. *Progress in Materials Science.* 2021.
5. S. Fukami, T. Anekawa, C. Zhang, and H. Ohno, *Nature Nanotechnology.* 2016. V. 11. P. 621–626.
6. J. M. Shaw, H. T. Nembach, M. Weiler, T. J. Silva, M. Schoen, J. Z. Sun, and D. C. Worledge. *IEEE Magnetics Letters.* 2015. V. 6. Art. 3500404.
7. Deepika Jhajhria, Dinesh K. Pandya, and Sujeet Chaudhary, *AIP Conference Proceedings.* 1953. 2018. Art. 120034.
8. А. А. Андронов, Е. А. Леонтович, И. И. Гордон, А. Г. Майер. *Качественная теория систем второго порядка.* М. : Наука, 1966. 568 с.
9. Дж. Гукенхеймер, Дж. Холмс. *Нелинейные колебания, динамические системы и бифуркации векторных полей.* Москва-Ижевск : Институт компьютерных исследований, 2002. 560 с.
10. Н. Н. Баутин, Е. А. Леонтович. *Методы и приемы качественного исследования динамических систем на плоскости.* М. : Наука, 1990. 488 с.
11. В. Dieny, I. L. Prejbeanu, K. Garello, et al. *Nature Electronics.* 2020. V. 3. P. 446–459.
12. Chao Wang, Zhaohao Wang, Yansong Xu, et al. // *IEEE Xplore.* 2020. 978-1-7281-3320-1/20/.
13. Н. В. Островская, В. А. Скиданов, Ю. А. Юсипова // *Журнал Технической Физики.* 2023. Т. 93, вып. 5. С. 687–695.